

УДК 532.526:536.25

© 1989

АГРАНАТ В. М., МИЛОВАНОВА А. В.

ТЕПЛООБМЕН И ТРЕНИЕ В ПОГРАНИЧНОМ СЛОЕ  
ПРИ СМЕШАННОЙ КОНВЕКЦИИ НА ГОРИЗОНТАЛЬНОЙ  
ПЛАСТИНЕ

В настоящее время имеется значительное количество численных исследований ламинарной смешанной конвекции на горизонтальной пластине в условиях приближения Буссинеска и постоянной температуры поверхности (см. библиографию в [1]). Наиболее полными и основополагающими из них являются работы [1-4]. В [5, 6] получены аналитические формулы для коэффициентов трения и теплообмена. Однако, как справедливо отмечается в [4], метод возмущений, используемый в [5, 6], не позволяет получить удовлетворительные результаты для области изменения параметра плавучести  $Gr_x/Re_x^{3/2}$  от 0,1 до 1, где наиболее существенно проявляется взаимное влияние свободной и вынужденной конвекции. В настоящей работе при помощи асимптотического метода [7, 8] получены по аналогии с [9, 10] приближенные формулы для коэффициентов трения и теплообмена при ламинарной смешанной конвекции на горизонтальной пластине в приближении Буссинеска для параметра плавучести  $Gr_x/Re_x^{3/2} \leq 1$  и числа Прандтля  $Pr \sim 1$  и исследованы критические значения параметра плавучести, при которых происходит «разрушение» пограничного слоя [1] и модель пограничного слоя становится неприменимой.

1. Постановка задачи. Рассмотрим обтекание плоской горизонтальной полубесконечной пластины с постоянной температурой поверхности  $T_w$  вязким теплопроводным потоком газа, имеющим вдали от пластины постоянные скорость  $u_\infty$  и температуру  $T_\infty$ . Термогравитационные силы, обусловленные неоднородностью поля температуры, индуцируют продольный градиент давления. Уравнения ламинарной смешанной конвекции на горизонтальной пластине в безразмерном виде имеют вид [1-6]

$$\frac{\partial u}{\partial x} + \frac{\partial v}{\partial y} = 0 \quad (1.1)$$

$$u \frac{\partial u}{\partial x} + v \frac{\partial u}{\partial y} = \frac{\partial^2 u}{\partial y^2} \pm \frac{Gr}{Re^{3/2}} \frac{\partial}{\partial x} \left[ \int_y^\infty \theta dy \right]$$

$$Pr \left( u \frac{\partial \theta}{\partial x} + v \frac{\partial \theta}{\partial y} \right) = \frac{\partial^2 \theta}{\partial y^2}$$

Здесь  $Gr = g(T_w - T_\infty)\beta L^3/\nu^2$  — число Грасгофа,  $Re = u_\infty L/\nu$  — число Рейнольдса,  $\theta = (T - T_\infty)/(T_w - T_\infty)$  — безразмерная температура. Верхний и нижний знаки в уравнении движения относятся к течениям над и под пластиной соответственно.

В качестве характерных значений при обезразмеривании приняты следующие величины: для продольной координаты —  $L$ , для поперечной —  $L/\sqrt{Re}$ , для продольной компоненты скорости —  $u_\infty$ , для поперечной —  $u_\infty/\sqrt{Re}$ .

Граничные условия имеют вид

$$\begin{aligned} y=0: \quad u=v=0, \quad \theta=1 \\ y=\infty: \quad u=1, \quad \theta=0 \end{aligned} \quad (1.2)$$

2. Расчет трения и теплообмена. Введем функцию тока  $\psi(x, y)$ , удовлетворяющую уравнению неразрывности, и новую квазиавтомодельную переменную  $\eta$ , выбор которой должен отражать поведение толщины пограничного слоя.

В связи с этим отметим, что автомодельное решение задачи о смешанной конвекции на горизонтальной пластине может существовать только при определенной связи между изменениями скорости внешнего потока  $u_\infty$  и температуры стенки  $T_w$  [4]. Если предположить, что скорость  $u_\infty(x)$  и температура  $T_w(x)$  изменяются по степенным законам с показателями  $m$  и  $n$  соответственно, то для существования автомодельного решения необходимо выполнение следующего соотношения [4]:

$$n = \frac{5m-1}{2}$$

В рассматриваемом случае, когда  $T_w = \text{const}$  и  $u_\infty = \text{const}$  [1-6], т. е. при  $n=m=0$ , задача не приводится к автомодельной постановке. Поэтому попытаемся при помощи новой переменной  $\eta$  привести задачу к такой постановке, локально-автомодельное решение которой максимально приближено к неавтомодельному.

Заметим, что при выборе  $\psi \sim \sqrt{x}$  и  $\eta \sim x^{-1/2}$  в [1-4] было получено, что в локально-автомодельной постановке член, отвечающий за плавучесть, содержит параметр  $\xi = |Gr_x|/Re_x^{5/2}$  порядка  $\sqrt{x}$ . С ростом  $x$  этот член существенно изменяется, вследствие чего пренебрежение производными по  $\xi$  [2] приводит к тому, что расчет трения в локально-автомодельной постановке дает значительную погрешность относительно локально-неавтомодельного решения. Поэтому остановим свой выбор на таких зависимостях  $\psi$  и  $\eta$  от  $x$ , чтобы, во-первых, было удовлетворено условие  $u_\infty = \text{const}$ , т. е.  $\psi \sim x^{1/2}$  [1-4], и, во-вторых, член с плавучестью в локально-автомодельной постановке не содержал явной зависимости от  $x$ .

Исходя из сказанного выше, введем  $\psi$  и  $\eta$  по формулам

$$\begin{aligned} \psi(x, y) &= A\sqrt{2x}f(x, \eta), & u &= \frac{\partial \psi}{\partial y}, & v &= -\frac{\partial \psi}{\partial x} \\ \eta &= \frac{Ayx^{-1/2}}{\sqrt{2}}, & A &= \left(\frac{3\sqrt{2}}{4} \frac{Gr}{Re^{5/2}}\right)^{1/2} \end{aligned} \quad (2.1)$$

Тогда уравнения движения и энергии (1.1) и соответствующие им граничные условия (1.2) примут вид

$$\begin{aligned} f'''_{\eta\eta\eta} + x^{-1/2}ff_{\eta\eta}'' &= \Phi(x, \eta) = \frac{1}{4}x^{-1/2}(f'_\eta)^2 + \\ &+ 2x^{1/2}(f'_\eta f_{x\eta}'' - f_x' f_{\eta\eta}'') \pm \int_{\eta}^{\infty} \left( \theta_{\eta}' \eta - \frac{8}{3} \theta_x' x \right) d\eta \\ \theta_{\eta\eta}'' + Pr x^{-1/2}f\theta_{\eta}' &= 2 Pr x^{1/2}(f'_\eta \theta_x' - f_x' \theta_{\eta}') \\ \eta=0: & f'_\eta = f = 0, \quad \theta = 1 \\ \eta=\infty: & f'_\eta = A^{-2}x^{-1/2}, \quad \theta = 0 \end{aligned} \quad (2.2)$$

В уравнении движения (2.2) и ниже верхний знак соответствует первому типу смешанной конвекции, а нижний — второму (силы плавучести соответственно способствуют или препятствуют вынужденной конвекции [2]). Первый случай реализуется при обтекании нагретой ( $T_w > T_\infty$ ) пла-

стины сверху или холодной ( $T_w < T_\infty$ ) пластины снизу, а второй — в противоположных ситуациях.

Заметим, что в новых переменных выражение для безразмерной продольной скорости  $u$  имеет вид

$$u = A^2 x'^{1/2} f_\eta'$$

и условие  $f_\eta'|_{\eta=\infty} = x^{-1/2} A^{-2}$  соответствует постоянной скорости внешнего потока.

Цель дальнейшего анализа — найти в областях  $0 < Gr_x / Re_x^{5/2} \ll 1$ ,  $Gr_x / Re_x^{5/2} < 0$  приближенные аналитические формулы для безразмерных коэффициентов трения и теплообмена  $a = f_{\eta\eta}''(x, 0)$  и  $b = \theta_\eta'(x, 0)$ , с помощью которых определяются напряжение трения  $\tau_w$  и плотность теплового потока  $q_w$  на стенке

$$\tau_w = \sqrt{\frac{u_\infty^3 \rho \mu}{2x'}} A^3 x'^{1/2} a \quad (2.3)$$

$$q_w = -\lambda (T_\infty - T_w) \sqrt{\frac{u_\infty}{2\nu x'}} A x'^{1/2} b$$

где  $x'$  — расстояние от передней кромки пластины.

Рассмотрим систему (2.2) в локально-автомодельной постановке, т. е. примем, что  $f_x'$ ,  $f_{xx}''$ ,  $\theta_x'$  равны нулю. Из первого уравнения (2.2) и граничных условий, следуя [7–10], получим интегральное соотношение

$$\int_0^\infty \exp\left(-\frac{x^{-1/2} a \eta^3}{6} - \frac{x^{-1/2} \Phi(x, 0) \eta^4}{24} - \dots\right) \left(a + \Phi(x, 0) \eta + \Phi_\eta'(x, 0) \frac{\eta^2}{2} + \dots\right) d\eta = A^{-2} x^{-1/2} \quad (2.4)$$

Используя [7], выразим из второго уравнения (2.2) величину  $\Phi(x, 0)$  в первом приближении

$$\Phi(x, 0) \equiv \pm \int_0^\infty \theta_\eta' \eta d\eta \approx \mp \frac{1}{2} \frac{\Gamma(5/3)}{\Gamma(4/3)} \left(\frac{Pr x^{-1/2} a}{6}\right)^{-1/2}$$

где  $\Gamma(x)$  — гамма-функция.

Подставляя  $\Phi(x, 0)$  в (2.4) и ограничиваясь двумя членами разложения, приходим к уравнению пятой степени

$$z^5 - z^3 = C \xi Pr^{-1/2} \equiv \alpha, \quad z = \left(\frac{a}{a_0}\right)^{1/2} \quad (2.5)$$

$$a_0 \approx A^{-3} x^{-1/2} \left[6\Gamma^3\left(\frac{4}{3}\right)\right]^{-1/2}, \quad C = \pm \frac{3^{1/2}}{4} \Gamma^2\left(\frac{5}{3}\right) \Gamma^{1/2}\left(\frac{4}{3}\right) \approx \pm 3,0009$$

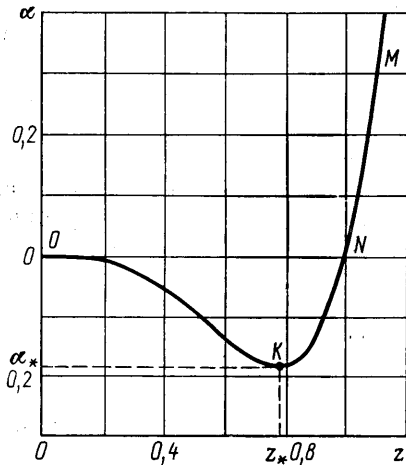
Здесь  $a_0$  — значение  $a$  при  $\xi = 0$ , т. е.  $a_0$  соответствует напряжению трения  $\tau_{w0}$  для вынужденной конвекции несжимаемого газа на горизонтальной пластине [11, 12].

Уравнение (2.5) связывает неизвестную величину  $z$ , характеризующую относительное изменение напряжения трения в пограничном слое вследствие наличия естественной конвекции, с определяющим безразмерным параметром  $\alpha$ . Для качественного анализа решений полученного алгебраического уравнения рассмотрим представленный на фигуре график функции  $\alpha = \alpha(z) \equiv z^5 - z^3$  для  $z > 0$ . На графике точка  $N = (1, 0)$  соответствует случаю чисто вынужденной конвекции ( $a = a_0$ ). Смешанной конвекции первого

типа ( $C > 0$ ) отвечают положительные  $\alpha$  и, следовательно, участок кривой  $NM$ , где значения  $z > 1$  ( $a > a_0$ ). Принимая во внимание (2.3), получаем, что смешанная конвекция первого типа приводит к росту напряжения трения по сравнению с вынужденной конвекцией.

Двигаясь по участку  $NK$  кривой  $\alpha = \alpha(z)$  от точки  $N$  в сторону отрицательных  $\alpha$ , попадаем в область смешанной конвекции второго типа ( $C < 0$ ), которой соответствуют значения  $z < 1$ . Следовательно, напряжение трения при смешанной конвекции второго типа меньше, чем при вынужденной. С уменьшением  $\alpha$  от 0 до  $\alpha_*$  коэффициент трения изменяется от  $a_0$  до некоторого отличного от нуля значения  $a_* = a_0 z_*^3$ , причем при приближении к критической точке  $K = (z_*, \alpha_*)$  величина  $d\alpha/dz \rightarrow +0$ , а  $dz/d\alpha \rightarrow \infty$ , т. е.  $a'_\xi \rightarrow -\infty$ , так как  $\text{sign } \alpha = -\text{sign } \xi$ .

Как указывается в [1], такое резкое исчезновение трения на стенке при  $\xi \rightarrow \xi_*$  приводит к неограниченному росту толщины пограничного слоя и к его разрушению. В предотрывной области  $x \leq x_*$ , соответствующей значениям  $\xi$ , близким к  $\xi_*$ , происходит нарушение условий применимости уравнений (1.1) пограничного слоя [14]. Участок  $KO$  кривой на фигуре, соответствующий отрезку  $[0, z_*]$ , физически нереальный, так как на нем при  $C < 0$  с ростом  $\xi$  величина  $a$  растет, а не убывает. При сверхкритических значениях параметра  $\alpha < \alpha_* = \alpha(z_*)$ , как видно из фигуры, уравнение (2.5) не имеет положительных корней. Это свидетельствует о неприменимости модели пограничного слоя при  $\alpha < \alpha_*$ . Значение  $\alpha_* = \alpha(z_*)$  является бифуркационным и находится из условия  $d\alpha/dz = 0$  при  $z = z_*$ . При  $\alpha_* < \alpha < 0$  необходимо учитывать неединственность решений урав-



нения (2.5), которая, по-видимому, связана с описанными в [2] сложностями численного решения задачи в указанной области. Все выводы, полученные из проведенного качественного анализа кривой (2.5), согласуются с известными теоретическими результатами [1–6]. Поэтому обратимся к количественному анализу этого уравнения.

Поскольку аналитически точно найти корни уравнения пятой степени (2.5) не удастся, в соответствии с [2, 4] предположим, что  $|z-1| \ll 1$  для  $\xi \leq 1$ , и перейдем от (2.5) к биквадратному уравнению относительно  $(a/a_0)^{1/3}$ , которое при  $\xi \text{Pr}^{-1/3} C > -1/4$  имеет единственный положительный корень. Этому корню соответствует значение

$$\frac{a}{a_0} \approx \left[ \frac{1}{2} (1 + \sqrt{1 + 4C\xi \text{Pr}^{-1/3}}) \right]^3, \quad C \approx \pm 3,0009 \quad (2.6)$$

Следует отметить, что для  $C > 0$  всегда существует решение (2.6), а для отрицательного  $C$  (для смешанной конвекции второго типа) при  $\xi > \xi_*$  формула (2.6) приводит к комплексным значениям  $a$ . При этом

$$\xi_* = \frac{1}{4} \text{Pr}^{1/3} |C|^{-1} \approx \frac{1}{12} \text{Pr}^{1/3} \quad (2.7)$$

Критическое значение  $\xi = \xi_*$  соответствует точке, при достижении которой модель пограничного слоя становится непригодной.

Сравнение формулы (2.6) с результатами локально-неавтомодельного решения [2] при  $\text{Pr} = 0,7$  дает погрешность до 3% для  $\text{Gr}_x/\text{Re}_x^{3/2} \in [-0,03, 1]$  (для всей области, исследованной в [2]). Следует заметить,

что параметр плавучести входит в формулу (2.6) только с множителем  $\text{Pr}^{-1/2}$ . Таким образом, увеличение числа Прандтля приводит к снижению влияния архимедовой силы на коэффициент трения, что подтверждается результатами работ [1, 3–6].

Сопоставление значения  $\xi_*$  вычисленного по формуле (2.7), с численными результатами работы [1] дает погрешность менее 5% для чисел  $\text{Pr}=0,5-10$ .

Для того чтобы найти безразмерный коэффициент теплообмена  $b$ , обратимся к уравнению для безразмерной температуры (2.2). Следуя [7–10], с учетом двух первых членов асимптотического разложения получим соотношение

$$-b^{-1} = \int_0^{\infty} \exp\left(-\frac{\text{Pr} x^{-1/2} a \eta^3}{6}\right) \left(1 - \frac{\text{Pr} \Phi(x, 0) x^{-1/2} \eta^4}{24}\right) d\eta$$

из которого вытекает формула

$$\left(\frac{b}{b_0}\right)^{-1} = \left(\frac{a}{a_0}\right)^{-1/2} \pm 0,5002 \left(\frac{a}{a_0}\right)^{-2} \xi \text{Pr}^{-1/2}, \quad b_0 = -x^{-1/2} A^{-1} \text{Pr}^{1/2} \left[6\Gamma^3\left(\frac{4}{3}\right)\right]^{-1/2} \quad (2.8)$$

Здесь  $b_0$  соответствует тепловому потоку  $q_{w0}$  при  $\xi=0$ , т. е. случаю вынужденной конвекции несжимаемого газа на горизонтальной пластине [11, 12]. Полученная формула дает совпадение до 4,5% с численными результатами работы [2] во всем диапазоне  $\text{Gr}_x/\text{Re}_x^{3/2}$ , исследованном в [2]. Для различных чисел Прандтля проводилось сравнение (2.8) с численными данными [4] в точках  $\xi=1, 10$ . Анализ показал, что для  $\text{Pr}=0,7$  и 1 погрешность формулы менее 3,5%, а для  $\text{Pr}=10$  она возрастает до 8%.

Необходимо отметить, что использование метода [7] для решения задачи (1.1) в локально-автомодельной постановке при выборе  $\psi \sim \sqrt{x}$  и  $\eta \sim x^{-1/2}$  дает удовлетворительную точность (до 6%) по сравнению с численным локально-автомодельным решением [2], но приводит к значительному отклонению от локально-неавтомодельного решения [2]. Таким образом, хорошее совпадение локально-автомодельного решения (2.6) и (2.8) с локально-неавтомодельным [2] является следствием удачного выбора (2.1) квазиавтомодельной переменной  $\eta \sim x^{-3/2}$ . Поэтому можно предположить, что при ламинарной смешанной конвекции на горизонтальной пластине при  $u_{\infty}=\text{const}$  и  $T_w=\text{const}$  толщина динамического пограничного слоя  $\delta \sim x^{3/5}$ . Если для сравнения взять автомодельные постановки при вынужденной конвекции на горизонтальной пластине, при свободной конвекции на вертикальной пластине [12] и при смешанной конвекции на горизонтальной пластине для  $T_w=\text{const}$  и  $u_{\infty} \sim x^{1/5}$  [13], то в этих случаях толщина пограничного слоя будет соответственно порядка  $x^{1/2}$ ,  $x^{1/4}$  и  $x^{2/5}$ . Видно, что зависимость  $\delta \sim x^{3/5}$  наиболее близка к закону  $\delta \sim x^{2/5}$ .

Полученные в работе формулы можно рекомендовать для расчета ламинарной смешанной конвекции на изотермической горизонтальной пластине в широких диапазонах изменения параметра плавучести и числа Прандтля.

#### ЛИТЕРАТУРА

1. Schneider W., Wasel M. G. Breakdown of the boundary-layer approximation for mixed convection above a horizontal plate // Int. J. Heat and Mass Transfer. 1985. V. 28. № 12. P. 2307–2313.
2. Чжэнь, Спарроу, Мукголу. Смешанная конвекция в пограничном слое на горизонтальной пластине // Теплопередача. 1977. № 1. С. 70–76.
3. Рамачандран, Армали, Чжэнь. Смешанная конвекция около горизонтальной пластины // Теплопередача. 1983. № 2. С. 177–180.
4. Маргынченко О. Г., Соколович Ю. А. Теплообмен смешанной конвекцией. Минск: Наука и техника, 1975. 255 с.

5. *Sparrow E. M., Minkowycz W. J.* Buoyancy effects on horizontal boundary-layer flow and heat transfer // *Int. J. Heat and Mass Transfer.* 1962. V. 5. № 6. P. 505–511.
6. *Hieber C. A.* Mixed convection above a heated horizontal surface // *Int. J. Heat and Mass Transfer.* 1973. V. 16. № 4. P. 769–785.
7. *Meksyn D.* New methods in laminar boundary layer theory. Oxford: Pergamon press, 1961. 294 p.
8. *Гирский Г. А.* Сублимация тупого тела в окрестности критической точки в плоском и осесимметричном потоке смеси газов // *Журн. вычисл. математики и мат. физики.* 1961. Т. 1. № 5. С. 884–902.
9. *Агранат В. М.* Об аналогии Рейнольдса в запыленном ламинарном пограничном слое // *Изв. АН СССР. МЖГ.* 1986. № 6. С. 160–162.
10. *Агранат В. М.* Влияние градиента давления на трение и теплообмен в запыленном пограничном слое // *Изв. АН СССР. МЖГ.* 1988. № 5. С. 105–108.
11. *Лойцянский Л. Г.* *Механика жидкости и газа.* М.: Наука, 1987. 840 с.
12. *Шлихтинг Г.* *Теория пограничного слоя.* М.: Наука, 1974. 711 с.
13. *Redekopp L. G., Charwat A. F.* Role of buoyancy and the Boussinesq approximation in horizontal boundary layers // *J. Hydronaut.* 1972. V. 6. № 1. P. 34–39.

Томск

Поступила в редакцию  
31.X.1988